

KINWIR-I

## 1. Uwagi ogólne

**Program KINWIR-I** służy do obliczeń zagadnień kinetostatyki wielopodporowych wirników, bazujący na izotermicznym module do obliczeń łożysk ślizgowych o nazwie „IZOTER”.

Program oparty jest na metodzie elementów skończonych (MES) i tak do dyskretyzacji wirnika zastosowano belkowy element skończony o dwóch węzłach i czterech stopniach swobody każdy (np.: węzłowi o numerze **1** odpowiadają cztery stopnie swobody zakodowane w kierunkach: przemieszczenie w kierunku osi x (kierunek nr **1**), obrót wokół osi x (kierunek nr **2**), przemieszczenie w kierunku osi y (kierunek nr **3**), obrót wokół osi y (kierunek nr **4**).

Natomiast dla węzła o numerze np.: **33** będzie odpowiednio :

przem. x	-	<b>129</b>
obrót x	-	<b>130</b>
przem. y	-	<b>131</b>
obrót y	-	<b>132.</b>

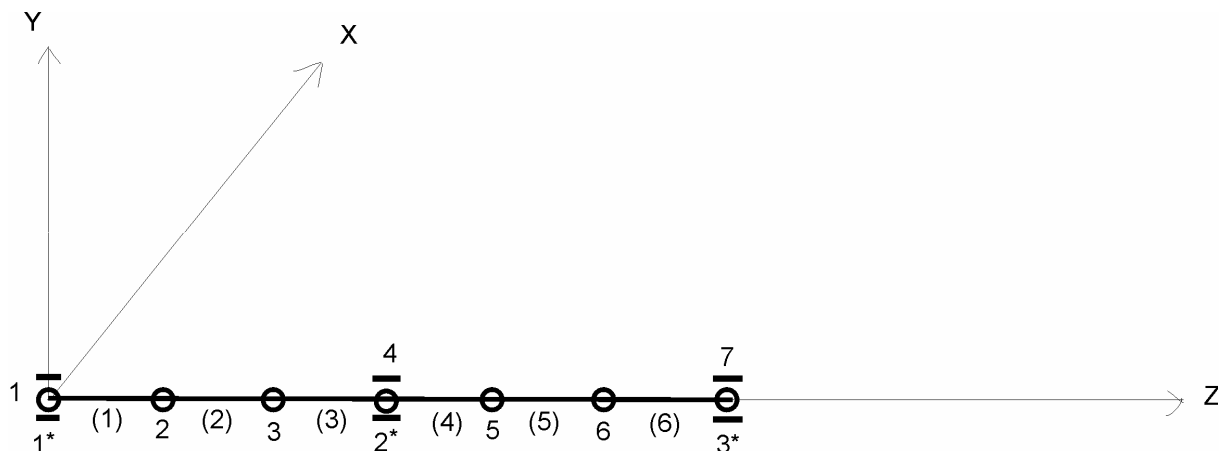
Zastosowany model elementu belkowego może uwzględniać odkształcenia wynikające ze ścinania w przekrojach belki (model Timoshenki – **IB=1** w pliku **NAZWA.WIR**).

## **Układ współrzędnych i sposoby numeracji węzłów**

Sposób dyskretyzacji i numeracji węzłów podamy dla przypadku gdzie:

liczba elementów belkowych **LE = 6**  
liczba podpór **LP = 3**

Dyskretyzacja dla takiego przypadku przedstawia się następująco:



gdzie:

- (1),(2),.....,(6) - numery elementów belkowych
- 1,2,3,.....,7 - numery węzłów elementów belkowych
- 1\*,2\*,3\* - numery podpór
- 1,4,7 - numery węzłów podpartych
- LSS - liczba stopni swobody układu (zakodowanych w kierunkach) LSS = (LE+1)\*4
- LOSS - liczba odebranych stopni swobody w węzłach podpartych (łożysko odbiera dwa stopnie swobody: przemieszczenia w kierunku osi X i Y) LOSS=LP\*2
- 
 - belkowy element skończony (np.: piąty z przykładu)
- NW(5,1)=5; NW(5,2)=6
- (NW(I,J),I=1,LE),J=1,2)) - tablica zawierająca numery węzłów elementów belkowych

W zagadnieniach statyki i kinetostatyki wpływ łożysk i fundamentów uwzględnia się poprzez zadane przemieszczenia węzłów w podporach (w kierunkach osi X i Y). Globalna macierz sztywności układu jest macierzą pasmową i symetryczną. Program wykorzystuje te własności stosując odpowiednie procedury do rozwiązywania układu równań.

## 2. Opis parametrów wejściowych (dane wejściowe)

Do uruchomienia programu KINWIR-I wymagane są następujące pliki zewnętrzne z danymi wejściowymi: *AANAZWA*, *NAZWA.DOK*, *NAZWA.EPP*, *NAZWA.GAF*, *NAZWA.II'J'*, *NAZWA.WIR*.

- AANAZWA** - plik zawierający nazwę aktualnie wykonywanych obliczeń - 8 znaków.

- NAZWA.DOK** - plik zawierający dane opisujące dokładności obliczeń w głównej pętli iteracyjnej.
- NAZWA.EPP** - zbiór początkowych wartości EPS i GAM w łożysku dla kolejnych podpór.
- NAZWA.GAF** - plik określający wartości współczynników sztywności i tłumienia podpór łożyskowych w miejscu ich posadowienia na fundamencie /konieczny gdy IFUN=2/.
- NAZWA.II'J'** - plik zawierający dane do obliczeń charakterystyk łożyska w kolejnych podporach /J=1,...,LP ; gdzie : LP- liczba podpór/.
- NAZWA.WIR** - plik określający geometrię i fizyczne własności wirnika oraz parametry jego dyskretyzacji.

#### **Dane wejściowe zawarte w zbiorach typu NAZWA.DOK**

parametry określające dokładność obliczeń w głównej pętli iteracyjnej:

- WREL - współczynnik relaksacji (równy lub mniejszy od 1)
- DOB - dokładność obliczeń (DOB=0.01 – oznacza dokładność 1-ego procenta)
- DELTA - dodatkowy dopuszczalny błąd bezwzględny w obliczeniach reakcji podpór [N]
- ITERGM - maksymalna liczba iteracji w głównej pętli iteracyjnej

#### **Dane wejściowe zawarte w plikach typu NAZWA.GAF**

- FGAM11,FGAM12,FGAM21,FGAM22  
[ N/M ] - współczynniki sztywności i tłumienia podpór łożyskowych  
FBET11, FBET12, FBET21, FBET22  
[ N\*S/M ] Zadajemy dla każdej podpory w układzie.

#### **Dane wejściowe zawarte w plikach typu NAZWA.WIR**

parametry określające rozmiary zagadnienia :

- LE - liczba elementów belkowych dyskretyzujących wirnik
- LP - liczba podpór
- LOK - liczba dysków sztywnych lub zadanych obciążen czy momentów zewnętrznych

- IFUN - parametr wejściowy określający sposób obliczania ugięć fundamentu:  
 IFUN=0 - obliczenia bez ugięć fundamentu  
 IFUN=2 - obliczenia ugięć fundamentu za pomocą współczynników sztywności wczytanych z pliku **NAZWA.GAF**.
- IB - wskaźnik oznaczający typ elementu belkowego o dwóch węzłach i czterech stopniach swobody w węzle /takie elementy stosujemy do dykretyzacji wału wirnika w MES/  
 IB=0 – element typu Bernouliego  
 IB=1 – element typu Timoshenki
- POBR - prędkość obrotowa [OBR/MIN]

parametry określające: materiał, geometrię, łożyska i siły :

- E - moduł Younga [N/M<sup>\*\*2</sup>]  
 RO - gęstość materiału wirnika [Kg MASY/M<sup>\*\*3</sup>]  
 NI - liczba Poissona  
 NW(I,1) - numer węzła początkowego kolejnych elementów belkowych I=1,...,LE  
 NW(I,2) - numer węzła końcowego kolejnych elementów belkowych  
 L(I) - długość elementu belkowego [M]  
 DZM(I) - średnica zewnętrzna dla masy elementu belkowego [M]  
 DWM(I) - średnica wewnętrzna dla masy elementu belkowego [M]  
 DZB(I) - średnica zewnętrzna dla geometrycznego momentu bezwładności elementu belkowego [M]  
 DWB(I) - średnica wewnętrzna dla geometrycznego momentu bezwładności elementu belkowego [M]  
 NKQ (I) - numery **kierunków** w układzie globalnym obciążonych ciężarem dysków (I=1,LOK)  
 QQ (I) - ciężar sztywnych dysków – wielkość sił zewnętrznych [N] lub momentów [N\*M] (poprzedzamy znakiem „-” gdy siła działa w dół wzdłuż osi Y).  
 Np.: NKQ (1) = 23 i QQ (1) = -1817 oznacza siłę przyłożoną w węzle nr 6 działającą w dół z wartością 1817 N  
 NWP (I) - numery węzłów podpartych (I=1,LP)

## **Dane do obliczeń charakterystyk łożysk – pliki: NAZWA.II'J'**

- AMONT,BMONT - wartości przemieszczeń poziomych i pionowych podpór łożyskowych (panwi) w stosunku do linii geodezyjnej wirnika. Zapewniają one możliwość modelowania rozosiowań linii wału [M]
- MIO - lepkość dynamiczna oleju [N\*SEK /M<sup>2</sup>]  
D - średnica czopa łożyska [M]  
L - szerokość panwi łożyska (w kierunku osiowym) [M]  
DRH - luz promieniowy bezwzględny [M]  
$$DRH = \Delta R = R_p - R_c ; \text{ indeks 'p' oznacza panew natomiast indeks 'c' oznacza czop} ;$$

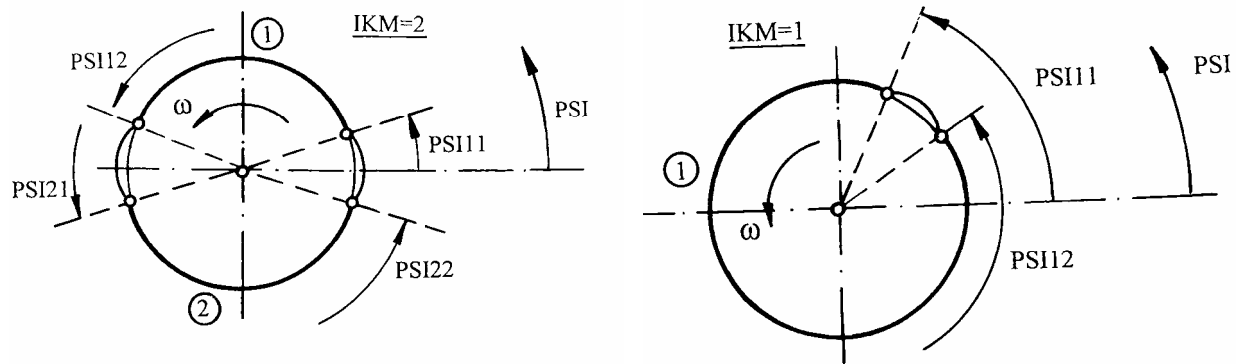
Uwaga : w przypadku łożysk wieloklinowych będzie to zawsze luz maksymalny

IKM - ilość klinów smarnych , co oznacza też ilość kieszeni smarnych.

Dla łożysk cylindrycznych IKM = 1  
Dla łożysk soczewkowych i offsetowych IKM = 2  
Dla łożysk trójklinowych IKM = 3 i.t.d.  
Uwaga : program ma zadeklarowaną maksymalną ilość kieszeni smarnych IKM = 4 . Oczywiście można to zmienić , zmieniając deklaracje rozmiarów niektórych tablic

HMIN - minimalna , graniczna grubość szczeliny smarnej do jakiej program może kontynuować obliczenia .  
Można przyjąć np.: HMIN =  $1.0 \times 10^{-6}$ m (jeden mikron) [M]

PSI11, PSI12, PSI21, PSI22..... ogólnie : PSI'IK'  
kąty [STOPNIE] określające położenie krawędzi napływowych (indeks K = 1) i spływowych (indeks K = 2) kolejnych klinów smarnych (indeks I=1,2,3,4)

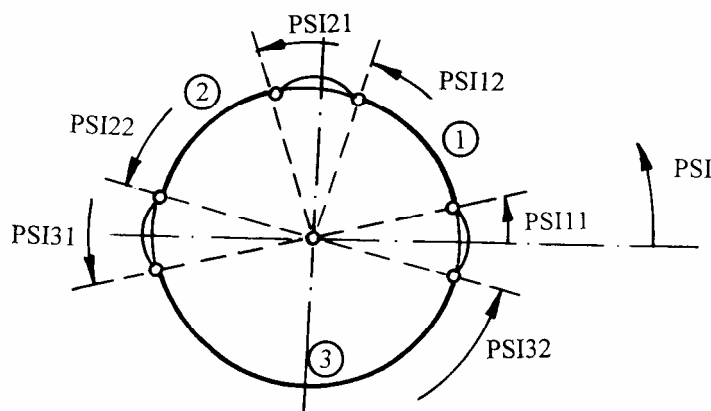


np. :

$$\begin{aligned} \text{PSI11} &= 10^\circ \\ \text{PSI12} &= 170^\circ \\ \text{PSI21} &= 190^\circ \\ \text{PSI22} &= 350^\circ \end{aligned} \left. \begin{array}{l} \text{dla klinu } \star \\ \text{dla klinu } \star \end{array} \right\}$$

np. :

$$\begin{aligned} \text{PSI11} &= 50^\circ \\ \text{PSI12} &= 390^\circ \end{aligned} \left. \begin{array}{l} \text{dla klinu } \star \\ \text{dla klinu } \star \end{array} \right\}$$



np. :

$$\begin{aligned} \text{PSI11} &= 10^\circ \\ \text{PSI12} &= 80^\circ \end{aligned} \left. \begin{array}{l} \text{dla klinu } \star \\ \text{dla klinu } \star \end{array} \right\}$$

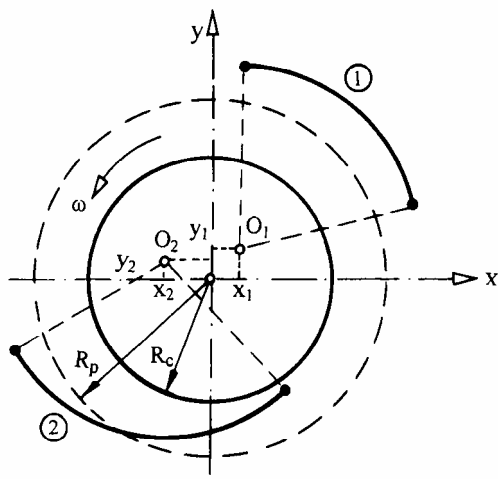
$$\begin{aligned} \text{PSI31} &= 190^\circ \\ \text{PSI32} &= 350^\circ \end{aligned} \left. \begin{array}{l} \text{dla klinu } \star \\ \text{dla klinu } \star \end{array} \right\}$$

$$\begin{aligned} \text{PSI21} &= 100^\circ \\ \text{PSI22} &= 170^\circ \end{aligned} \left. \begin{array}{l} \text{dla klinu } \star \\ \text{dla klinu } \star \end{array} \right\}$$

P0 - ciśnienie oleju zasilającego [N/M<sup>2</sup>]

X<sub>1</sub>, Y<sub>1</sub>, X<sub>2</sub>, Y<sub>2</sub>,...,X<sub>4</sub>, Y<sub>4</sub> - [—]

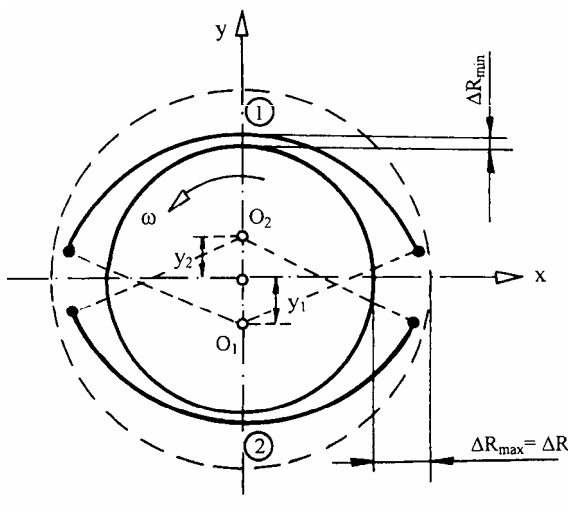
Bezwymiarowe współrzędne określające położenie środków geometrycznych poszczególnych klinów smarnych w płaszczyźnie luzów, czyli parametry określające rodzaj szczeliny smarnej i tym samym typ łożyska



$$\left. \begin{array}{l} X_1 = \frac{x_1}{\Delta R} \\ Y_1 = \frac{y_1}{\Delta R} \end{array} \right\} \text{dla klinia } \star$$

$$\left. \begin{array}{l} X_2 = \frac{x_2}{\Delta R} \\ Y_2 = \frac{y_2}{\Delta R} \end{array} \right\} \text{dla klinia } \star$$

Przykłady : **Łożysko soczewkowe** (dwuklinowe)



$$\begin{aligned} x_1 &= x_2 = 0 \\ y_1 &= y_2 = f \end{aligned}$$

$$\delta = f / \Delta R_{\max} = f / \Delta R$$

$$\left. \begin{array}{l} X_1 = 0 \\ Y_1 = -\delta \end{array} \right\} \text{dla klinia } \star$$

$$\left. \begin{array}{l} X_2 = 0 \\ Y_2 = +\delta \end{array} \right\} \text{dla klinia } \star$$

W programie :  $\Delta R_{\max} = \Delta R = DRH$

Zachodzi tu związek :  $\delta = 1 - \Delta R_{\min} / \Delta R_{\max}$ . Musi więc być :  $0 \leq Y_{1,2} < 1$  czyli :  $0 \leq \delta < 1$ . Im większa wartość  $\delta$  czyli  $Y_{1,2}$  tym większa jest „soczewkowatość” łożyska. Dla łożysk cylindrycznych mamy oczywiście :  $X_1 = X_2 = Y_1 = Y_2 = 0$

MI1, MI2, MI3, MI4 - liczba podziałów w kierunku obwodowym PSI siatki MRS dla klinów smarnych 1, 2, 3, 4 odpowiednio.

Uwaga : liczby MI1,..., MI4 muszą być liczbami całkowitymi **parzystymi**. Zalecany dobór liczb podziałów : liczby MI1,..., MI4 winny być tak dobrane aby krok całkowania w kierunku obwodowym PSI był mniejszy lub równy  $5^\circ$  ( $\Delta\Psi \leq 5^\circ$ ) dla każdego klinu

N - liczba podziałów w kierunku osiowym łożyska dla połowy szerokości panwi. Liczba całkowita **parzysta**. N musi być  $\geq 2$  (typowa wartość N = 6).

DOP - dopuszczalny błąd względny obliczania rozkładów ciśnienia (wartość typowa : DOP = 0.0001 czyli jedna dziesiąta promila )

IMAX - maksymalna ilość operacji w pętli doboru ciśnienia

DOSO - dopuszczalny błąd względny doboru nośności łożyska do zadanego obciążenia zewnętrznego  
np.: DOSO = 0.02 oznacza dokładność 2 %

Uwaga : błąd DOSO jest błędem ostatniej zewnętrznej pętli iteracyjnej, stąd jego wartość powinna być większa niż dopuszczalne błędy w pozostałych pętlach iteracyjnych

ISOM - maksymalna ilość iteracji w pętli doboru nośności

DEPS - względny, początkowy przyrost mimośrodowości EPS w postępowaniu iteracyjnym.

Wartość typowa DEPS = 0.02 (dla łożysk mocno obciążonych wartość tę należy zmniejszyć) ,

DFIM - dokładność doboru kąta FIZ ( w pętli doboru EPS i GAM)

ITGMAX - maksymalna ilość iteracji w pętli doboru EPS i GAM

REL - współczynnik relaksacji (<1) w pętli doboru kąta GAM

### **3. Opis parametrów wyjściowych (pliki wynikowe)**

Wynikiem działania programu KINWIR-I jest powstanie w katalogu WYN następujących plików: *NAZWA.CHI*, *NAZWA.GAB*, *NAZWA.EPK*, *NAZWA.PRZ*, *NAZWA.REA*, *NAZWA.SLD*.

- |                         |  |
|-------------------------|--|
| <b><i>NAZWA.CHI</i></b> | - plik zawiera wybrane charakterystyki statyczne łożysk w kolejnych podporach (wyniki z procedury IZOMES).   |
| <b><i>NAZWA.GAB</i></b> | - plik zawiera współczynniki sztywności i tłumienia podpór.  |
| <b><i>NAZWA.EPK</i></b> | - plik zawiera końcowe wartości EPS i GAM w łożysku dla kolejnych podpór.  |
| <b><i>NAZWA.PRZ</i></b> | - plik zawiera przemieszczenia i obroty wszystkich węzłów układu globalnego.   |
| <b><i>NAZWA.REA</i></b> | - plik zawiera składowe reakcji podpór.  |
| <b><i>NAZWA.SLD</i></b> | - ślad działalności programu – ewentualne komunikaty emitowane w trakcie obliczeń oraz mapki iteracji:<br>- przebieg zbieżności w głównej pętli iteracyjnej<br>- przebieg zbieżności w procedurze IZOMES |

### **4. Przykład plików wejściowych i wyjściowych do programu KINWIR-I**

Podamy postać przykładowych plików wejściowych i odpowiednio wynikowych dla prostego wirnika dwupodporowego.

#### **Dane wejściowe**

```
*****
*          ZBIOR AANAZWA          *
*=====*
*          *          *
* NAZWA ZBIOROW WEJSCIOVYCH I WYNIKOWYCH (8 ZNAKOW) WLASCIWA DLA      *
* OBLCZANEGO PRZYPADKU.          *
*          *          *
*          *          *
*-----*          *
```

**w\_teo\_2p**

\*\*\*\*\*
\* ZBIOR w\_teo\_2p.DOK
\* =====
\*
\*
\* DANE OPISUJACE DOKLADNOSCI OBliczen W GLOWNEJ PETLI ITERACYJNEJ
\*
\* -----
WREL DOB DELTA [N] ITERGM
0.5 0.01 1.0 10

\*\*\*\*\*
\* ZBIOR w\_teo\_2p.EPP
\* =====
\*
\* POCZATKOWE WARTOSCI EPS I GAM W LOZYSKU DLA KOLEJNYCH PODPOR
\*
\* -----
EPS GAM [STOP]
0.6 300
0.6 300

\*\*\*\*\*
\* ZBIOR w-teo-2p.II1
\* =====
\*
\* DANE DO OBliczen CHARAKTERYSTYK LOZYSKA W PODPORZE NR 1
\*
\* -----
AMONT[M] BMONT[M] MIO[N\*S/M] D[M] L[M] DRH[M] IKM HMIN[M]
0.0 0.0 0.08 0.1 0.05 0.000090 2 1.0E-06

PSI11 PSI12 PSI21 PSI22 PSI31 PSI32 PSI41 PSI42 PO[N/M\*\*2]
10.0 170.0 190.0 350.0 0.0

X1 Y1 X2 Y2 X3 Y3 X4 Y4
0.0 0.0 0.0 0.0

MI1 MI2 MI3 MI4
16 16

N DOP IMAX DEPS DOSO ISOM DFIM[STOP] ITGMAX RELG
4 0.001 200 0.02 0.01 100 0.2 50 0.5

```
*****
*          ZBIOR w_teo_2p.H2
* =====
*
* DANE DO OBLICZEN CHARAKTERYSTYK LOZYSKA W PODPORZE NR 2
*
*
* -----
AMONT[M] BMONT[M] MIO[N*S/M] D[M] L[M] DRH[M] IKM HMIN[M]
  0.0      0.0     0.08    0.1   0.05  0.000090     2   1.0E-06

PSI11  PSI12  PSI21  PSI22  PSI31  PSI32  PSI41  PSI42  PO[N/M**2]
10.0   170.0  190.0  350.0

X1      Y1      X2      Y2      X3      Y3      X4      Y4
0.0      0.0      0.0      0.0

MI1           MI2           MI3           MI4
16            16

N    DOP    IMAX    DEPS    DOSO   ISOM   DFIM[STOP] ITGMAX  RELG
4    0.001   200     0.02    0.01   100     0.2       50      0.5
```

```
*****
*          ZBIOR w_teo_2p.WIR
* =====
*
* DANE OPISUJACE GEOMETRIE I FIZYCZNE WLASNOSCI WIRNIKA ORAZ
* PARAMETRY JEGO DYSKRETYZACJI
*
*
* -----
LE      LP      LOK      IFUN      IB      POBR[obr/min]
  10        2        1        0        1      3000.0
E [N/M**2]  RO [KG/M**3]      NI
  2.1E+11    7860.0      0.3
I  NW(I,1)  NW(I,2)  L(I)[M]  DZM(I)[M]  DWM(I)[M]  DZB(I)[M]  DWB(I)[M]
  1   1        2        0.14      0.1      0.0      0.1      0.0
  2   2        3        0.14      0.1      0.0      0.1      0.0
  3   3        4        0.14      0.1      0.0      0.1      0.0
  4   4        5        0.14      0.1      0.0      0.1      0.0
  5   5        6        0.14      0.1      0.0      0.1      0.0
  6   6        7        0.14      0.1      0.0      0.1      0.0
  7   7        8        0.14      0.1      0.0      0.1      0.0
  8   8        9        0.14      0.1      0.0      0.1      0.0
  9   9       10        0.14      0.1      0.0      0.1      0.0
 10  10      11        0.14      0.1      0.0      0.1      0.0
NKQ(I)      QQ(I) [N] LUB [N*M]
  23          -1817.0
NWP(1)  NWP(2)  NWP(3)  NWP(4)  NWP(5)  NWP(6)  NWP(7)  NWP(8)  NWP(9)
  1         11
```

## Pliki wyjściowe ( wyniki obliczeń)

```
*****
* ZBIOR w_teo_2p.CHI WYNIKI OBLICZEN PROG. KINWIR-I *
* =====
* Prawa Autorskie: Jan Kicinski; e-mail: kic@imp.gda.pl *
* *
* ZAWIERA WYBRANE CHARAKTERYSTYKI STATYCZNE LOZYSK *
* W KOLEJNYCH PODPORACH *
* -----
EPS GAM [STOP] FI GM [KW] QC [M**3/S] PMAX [N/M**2] HMIN [M]
0.0975 349.03 270.03 .3077E+01 .5768E-05 .5263E+06 .8123E-04
0.0975 349.03 270.03 .3077E+01 .5768E-05 .5263E+06 .8123E-04
```

```
*****
* ZBIOR w_teo_2p.EPK WYNIKI OBLICZEN PROG. KINWIR-I *
* =====
* Prawa Autorskie: Jan Kicinski; e-mail: kic@imp.gda.pl *
* *
* ZAWIERA KONCOWE WARTOSCI EPS I GAM W LOZYSKU DLA KOLEJNYCH PODPOR *
* *
* -----
EPS GAM [STOP]
0.09750 349.031
0.09750 349.031
```

```
*****
* ZBIOR w_teo_2p.GAB WYNIKI OBLICZEN PROG. KINWIR-I *
* =====
* Prawa Autorskie: Jan Kicinski; e-mail: kic@imp.gda.pl *
* *
* ZAWIERA WSPOLCZYNNIKI SZTYWNOSCI I TLUMIENIA FILMU OLEJOWEGO LOZYSK*
* W KOLEJNYCH PODPORACH GAM11...[N/M] BETA11...[NS/M] *
* -----
GAM11 GAM12 GAM21 GAM22 BETA11 BETA12 BETA21 BETA22
-.277E+08 -.712E+08 0.158E+09 -.231E+08 -.460E+06 0.897E+05 0.896E+05 -.100E+07
-.277E+08 -.712E+08 0.158E+09 -.231E+08 -.460E+06 0.897E+05 0.896E+05 -.100E+07
```

\*\*\*\*\*  
\* ZBIOR w\_teo\_2p.PRZ WYNIKI OBLICZEN PROG. KINWIR-I \*  
\* ===== \*  
\* Prawa Autorskie: Jan Kicinski; e-mail: kic@imp.gda.pl \*  
\* ===== \*  
\* ZAWIERA PRZEMIESCZENIA I OBROTY WSZYSTKICH WEZLOW UKLADU \*  
\* GLOBALNEGO \*  
\* ===== \*

BELKA BERNOULIEGO  
PRZEMIESCZENIA I OBROTY WEZLOW  
,

Nr wezla	u	Fi	u	Fi
	/□S1	X	X	Y □ T
	[m]	[st]	[ m ]	[st]
1	0.000009	0.000000	-0.000002	-0.016247
2	0.000009	0.000000	-0.000041	-0.015533
3	0.000009	0.000000	-0.000076	-0.013458
4	0.000009	0.000000	-0.000105	-0.010116
5	0.000009	0.000000	-0.000125	-0.005600
6	0.000009	0.000000	-0.000132	0.000000
7	0.000009	0.000000	-0.000125	0.005600
8	0.000009	0.000000	-0.000105	0.010116
9	0.000009	0.000000	-0.000076	0.013458
10	0.000009	0.000000	-0.000041	0.015533
11	0.000009	0.000000	-0.000002	0.016247

\*\*\*\*\*  
\* ZBIOR w\_teo\_2p.REA WYNIKI OBLICZEN PROG. KINWIR-I \*  
\* ===== \*  
\* Prawa Autorskie: Jan Kicinski; e-mail: kic@imp.gda.pl \*  
\* ===== \*  
\* ZAWIERA SKLADOWE QX I QY REAKCJI KOLEJNYCH PODPOR (W NEWTONACH) \*  
\* ===== \*  
\* ===== \*

QX	QY
-72760E-11	0.13324E+04
0.14552E-10	0.13324E+04

\*\*\*\*\*  
\* ZBIOR w\_teo\_2p.SLD WYNIKI OBLICZEN PROGRAMU KINWIR-I \*  
\* ===== \*  
\* Prawa Autorskie: Jan Kicinski; e-mail: kic@imp.gda.pl \*  
\* ===== \*  
\* ZAWIERA MAPKE ITERACJI W GLOWNEJ PETLI ITERACYJNEJ ORAZ W \*  
\* PROCEDURZE DO OBLICZEN LOZYSK \*  
\* ===== \*

MAPKA ITERACJI W GLOWNEJ PETLI ITERACYJNEJ

ITERG= 0

-----  
LP= 1 EPS=0.6000 GAM=300.00  
UFX=0.000E+00 UFY=0.000E+00 UX=0.000E+00 UY=0.000E+00 QX=0.000E+00 QY=0.133E+04  
LP= 2 EPS=0.6000 GAM=300.00  
UFX=0.000E+00 UFY=0.000E+00 UX=0.000E+00 UY=0.000E+00 QX=0.000E+00 QY=0.133E+04

## MAPKA ITERACJI W PROC. IZOMES - NR PODPORY = 1

ISO= 1 ITG= 1 FI=258.25 EPS=0.6000 GAM=300.00 WX=0.3708E+04 WY=0.1783E+05  
ISO= 1 ITG= 2 FI=263.40 EPS=0.6000 GAM=305.87 WX=0.2141E+04 WY=0.1850E+05  
ISO= 1 ITG= 3 FI=265.91 EPS=0.6000 GAM=309.18 WX=0.1333E+04 WY=0.1863E+05  
ISO= 1 ITG= 4 FI=267.74 EPS=0.6000 GAM=311.22 WX=0.7405E+03 WY=0.1876E+05  
ISO= 1 ITG= 5 FI=268.86 EPS=0.6000 GAM=312.35 WX=0.3743E+03 WY=0.1886E+05  
ISO= 1 ITG= 6 FI=269.41 EPS=0.6000 GAM=312.92 WX=0.1932E+03 WY=0.1890E+05  
ISO= 1 ITG= 7 FI=269.69 EPS=0.6000 GAM=313.21 WX=0.1011E+03 WY=0.1892E+05  
ISO= 1 ITG= 8 FI=269.84 EPS=0.6000 GAM=313.37 WX=0.5326E+02 WY=0.1893E+05  
ISO= 2 ITG= 1 FI=268.80 EPS=0.5800 GAM=313.37 WX=0.3568E+03 WY=0.1710E+05  
ISO= 2 ITG= 2 FI=269.35 EPS=0.5800 GAM=313.96 WX=0.1945E+03 WY=0.1713E+05  
ISO= 2 ITG= 3 FI=269.64 EPS=0.5800 GAM=314.29 WX=0.1069E+03 WY=0.1714E+05  
ISO= 2 ITG= 4 FI=269.80 EPS=0.5800 GAM=314.47 WX=0.5923E+02 WY=0.1715E+05  
ISO= 3 ITG= 1 FI=268.77 EPS=0.5600 GAM=314.47 WX=0.3332E+03 WY=0.1552E+05  
ISO= 3 ITG= 2 FI=269.30 EPS=0.5600 GAM=315.08 WX=0.1893E+03 WY=0.1555E+05  
ISO= 3 ITG= 3 FI=269.60 EPS=0.5600 GAM=315.43 WX=0.1089E+03 WY=0.1556E+05  
ISO= 3 ITG= 4 FI=269.77 EPS=0.5600 GAM=315.63 WX=0.6308E+02 WY=0.1557E+05  
ISO= 3 ITG= 5 FI=269.86 EPS=0.5600 GAM=315.75 WX=0.3669E+02 WY=0.1557E+05  
ISO= 4 ITG= 1 FI=268.84 EPS=0.5400 GAM=315.75 WX=0.2869E+03 WY=0.1413E+05  
ISO= 4 ITG= 2 FI=269.31 EPS=0.5400 GAM=316.33 WX=0.1703E+03 WY=0.1414E+05  
ISO= 4 ITG= 3 FI=269.59 EPS=0.5400 GAM=316.67 WX=0.1021E+03 WY=0.1415E+05  
ISO= 4 ITG= 4 FI=269.75 EPS=0.5400 GAM=316.88 WX=0.6164E+02 WY=0.1415E+05  
ISO= 4 ITG= 5 FI=269.85 EPS=0.5400 GAM=317.01 WX=0.3735E+02 WY=0.1415E+05  
ISO= 5 ITG= 1 FI=268.83 EPS=0.5200 GAM=317.01 WX=0.2637E+03 WY=0.1286E+05  
ISO= 5 ITG= 2 FI=269.28 EPS=0.5200 GAM=317.59 WX=0.1628E+03 WY=0.1287E+05  
ISO= 5 ITG= 3 FI=269.56 EPS=0.5200 GAM=317.96 WX=0.9914E+02 WY=0.1289E+05  
ISO= 5 ITG= 4 FI=269.73 EPS=0.5200 GAM=318.18 WX=0.6061E+02 WY=0.1289E+05  
ISO= 5 ITG= 5 FI=269.84 EPS=0.5200 GAM=318.31 WX=0.3536E+02 WY=0.1289E+05  
ISO= 6 ITG= 1 FI=268.84 EPS=0.5000 GAM=318.31 WX=0.2377E+03 WY=0.1174E+05  
ISO= 6 ITG= 2 FI=269.32 EPS=0.5000 GAM=318.89 WX=0.1399E+03 WY=0.1176E+05  
ISO= 6 ITG= 3 FI=269.62 EPS=0.5000 GAM=319.23 WX=0.7814E+02 WY=0.1177E+05  
ISO= 6 ITG= 4 FI=269.79 EPS=0.5000 GAM=319.42 WX=0.4383E+02 WY=0.1178E+05  
ISO= 6 ITG= 5 FI=269.88 EPS=0.5000 GAM=319.53 WX=0.2467E+02 WY=0.1178E+05  
ISO= 7 ITG= 1 FI=268.89 EPS=0.4800 GAM=319.53 WX=0.2082E+03 WY=0.1074E+05  
ISO= 7 ITG= 2 FI=269.36 EPS=0.4800 GAM=320.08 WX=0.1199E+03 WY=0.1076E+05  
ISO= 7 ITG= 3 FI=269.63 EPS=0.4800 GAM=320.40 WX=0.6965E+02 WY=0.1077E+05  
ISO= 7 ITG= 4 FI=269.80 EPS=0.4800 GAM=320.59 WX=0.3830E+02 WY=0.1078E+05  
ISO= 7 ITG= 5 FI=269.89 EPS=0.4800 GAM=320.69 WX=0.2091E+02 WY=0.1078E+05  
ISO= 8 ITG= 1 FI=268.91 EPS=0.4600 GAM=320.69 WX=0.1878E+03 WY=0.9841E+04  
ISO= 8 ITG= 2 FI=269.39 EPS=0.4600 GAM=321.24 WX=0.1053E+03 WY=0.9859E+04  
ISO= 8 ITG= 3 FI=269.66 EPS=0.4600 GAM=321.54 WX=0.5942E+02 WY=0.9870E+04  
ISO= 8 ITG= 4 FI=269.80 EPS=0.4600 GAM=321.72 WX=0.3371E+02 WY=0.9875E+04  
ISO= 9 ITG= 1 FI=268.82 EPS=0.4400 GAM=321.72 WX=0.1855E+03 WY=0.9019E+04  
ISO= 9 ITG= 2 FI=269.32 EPS=0.4400 GAM=322.30 WX=0.1075E+03 WY=0.9037E+04  
ISO= 9 ITG= 3 FI=269.60 EPS=0.4400 GAM=322.65 WX=0.6292E+02 WY=0.9046E+04  
ISO= 9 ITG= 4 FI=269.76 EPS=0.4400 GAM=322.84 WX=0.3744E+02 WY=0.9050E+04  
ISO= 9 ITG= 5 FI=269.86 EPS=0.4400 GAM=322.96 WX=0.2209E+02 WY=0.9053E+04  
ISO= 10 ITG= 1 FI=268.88 EPS=0.4200 GAM=322.96 WX=0.1619E+03 WY=0.8272E+04  
ISO= 10 ITG= 2 FI=269.32 EPS=0.4200 GAM=323.52 WX=0.9768E+02 WY=0.8285E+04  
ISO= 10 ITG= 3 FI=269.59 EPS=0.4200 GAM=323.86 WX=0.5915E+02 WY=0.8292E+04  
ISO= 10 ITG= 4 FI=269.75 EPS=0.4200 GAM=324.07 WX=0.3599E+02 WY=0.8296E+04  
ISO= 10 ITG= 5 FI=269.85 EPS=0.4200 GAM=324.19 WX=0.2197E+02 WY=0.8299E+04  
ISO= 11 ITG= 1 FI=268.86 EPS=0.4000 GAM=324.19 WX=0.1503E+03 WY=0.7582E+04  
ISO= 11 ITG= 2 FI=269.30 EPS=0.4000 GAM=324.76 WX=0.9318E+02 WY=0.7593E+04  
ISO= 11 ITG= 3 FI=269.56 EPS=0.4000 GAM=325.11 WX=0.5826E+02 WY=0.7599E+04  
ISO= 11 ITG= 4 FI=269.72 EPS=0.4000 GAM=325.33 WX=0.3673E+02 WY=0.7602E+04  
ISO= 11 ITG= 5 FI=269.83 EPS=0.4000 GAM=325.47 WX=0.2321E+02 WY=0.7604E+04  
ISO= 12 ITG= 1 FI=268.84 EPS=0.3800 GAM=325.47 WX=0.1404E+03 WY=0.6946E+04

ISO= 12 ITG= 2 FI=269.26 EPS=0.3800 GAM=326.05 WX=0.9015E+02 WY=0.6955E+04  
ISO= 12 ITG= 3 FI=269.51 EPS=0.3800 GAM=326.42 WX=0.5913E+02 WY=0.6958E+04  
ISO= 12 ITG= 4 FI=269.68 EPS=0.3800 GAM=326.66 WX=0.3866E+02 WY=0.6960E+04  
ISO= 12 ITG= 5 FI=269.79 EPS=0.3800 GAM=326.82 WX=0.2535E+02 WY=0.6962E+04  
ISO= 12 ITG= 6 FI=269.88 EPS=0.3800 GAM=326.92 WX=0.1502E+02 WY=0.6968E+04  
ISO= 13 ITG= 1 FI=268.89 EPS=0.3600 GAM=326.92 WX=0.1227E+03 WY=0.6361E+04  
ISO= 13 ITG= 2 FI=269.30 EPS=0.3600 GAM=327.48 WX=0.7756E+02 WY=0.6369E+04  
ISO= 13 ITG= 3 FI=269.57 EPS=0.3600 GAM=327.83 WX=0.4838E+02 WY=0.6375E+04  
ISO= 13 ITG= 4 FI=269.74 EPS=0.3600 GAM=328.04 WX=0.2944E+02 WY=0.6378E+04  
ISO= 13 ITG= 5 FI=269.85 EPS=0.3600 GAM=328.18 WX=0.1721E+02 WY=0.6381E+04  
ISO= 14 ITG= 1 FI=268.88 EPS=0.3400 GAM=328.18 WX=0.1140E+03 WY=0.5820E+04  
ISO= 14 ITG= 2 FI=269.33 EPS=0.3400 GAM=328.74 WX=0.6796E+02 WY=0.5831E+04  
ISO= 14 ITG= 3 FI=269.60 EPS=0.3400 GAM=329.07 WX=0.4085E+02 WY=0.5836E+04  
ISO= 14 ITG= 4 FI=269.76 EPS=0.3400 GAM=329.27 WX=0.2459E+02 WY=0.5840E+04  
ISO= 14 ITG= 5 FI=269.85 EPS=0.3400 GAM=329.39 WX=0.1484E+02 WY=0.5842E+04  
ISO= 15 ITG= 1 FI=268.88 EPS=0.3200 GAM=329.39 WX=0.1039E+03 WY=0.5321E+04  
ISO= 15 ITG= 2 FI=269.34 EPS=0.3200 GAM=329.95 WX=0.6119E+02 WY=0.5331E+04  
ISO= 15 ITG= 3 FI=269.62 EPS=0.3200 GAM=330.28 WX=0.3553E+02 WY=0.5337E+04  
ISO= 15 ITG= 4 FI=269.78 EPS=0.3200 GAM=330.47 WX=0.2062E+02 WY=0.5340E+04  
ISO= 15 ITG= 5 FI=269.87 EPS=0.3200 GAM=330.58 WX=0.1200E+02 WY=0.5342E+04  
ISO= 16 ITG= 1 FI=268.90 EPS=0.3000 GAM=330.58 WX=0.9349E+02 WY=0.4856E+04  
ISO= 16 ITG= 2 FI=269.35 EPS=0.3000 GAM=331.13 WX=0.5544E+02 WY=0.4865E+04  
ISO= 16 ITG= 3 FI=269.61 EPS=0.3000 GAM=331.46 WX=0.3328E+02 WY=0.4870E+04  
ISO= 16 ITG= 4 FI=269.77 EPS=0.3000 GAM=331.66 WX=0.1992E+02 WY=0.4873E+04  
ISO= 16 ITG= 5 FI=269.86 EPS=0.3000 GAM=331.77 WX=0.1195E+02 WY=0.4875E+04  
ISO= 17 ITG= 1 FI=268.88 EPS=0.2800 GAM=331.77 WX=0.8657E+02 WY=0.4419E+04  
ISO= 17 ITG= 2 FI=269.32 EPS=0.2800 GAM=332.33 WX=0.5284E+02 WY=0.4428E+04  
ISO= 17 ITG= 3 FI=269.58 EPS=0.2800 GAM=332.68 WX=0.3244E+02 WY=0.4432E+04  
ISO= 17 ITG= 4 FI=269.74 EPS=0.2800 GAM=332.89 WX=0.2004E+02 WY=0.4435E+04  
ISO= 17 ITG= 5 FI=269.84 EPS=0.2800 GAM=333.01 WX=0.1242E+02 WY=0.4437E+04  
ISO= 18 ITG= 1 FI=268.85 EPS=0.2600 GAM=333.01 WX=0.8039E+02 WY=0.4009E+04  
ISO= 18 ITG= 2 FI=269.27 EPS=0.2600 GAM=333.59 WX=0.5089E+02 WY=0.4016E+04  
ISO= 18 ITG= 3 FI=269.53 EPS=0.2600 GAM=333.95 WX=0.3268E+02 WY=0.4019E+04  
ISO= 18 ITG= 4 FI=269.70 EPS=0.2600 GAM=334.18 WX=0.2089E+02 WY=0.4022E+04  
ISO= 18 ITG= 5 FI=269.81 EPS=0.2600 GAM=334.33 WX=0.1339E+02 WY=0.4024E+04  
ISO= 19 ITG= 1 FI=268.81 EPS=0.2400 GAM=334.33 WX=0.7500E+02 WY=0.3620E+04  
ISO= 19 ITG= 2 FI=269.23 EPS=0.2400 GAM=334.93 WX=0.4877E+02 WY=0.3627E+04  
ISO= 19 ITG= 3 FI=269.50 EPS=0.2400 GAM=335.31 WX=0.3187E+02 WY=0.3630E+04  
ISO= 19 ITG= 4 FI=269.67 EPS=0.2400 GAM=335.56 WX=0.2089E+02 WY=0.3633E+04  
ISO= 19 ITG= 5 FI=269.78 EPS=0.2400 GAM=335.73 WX=0.1372E+02 WY=0.3634E+04  
ISO= 19 ITG= 6 FI=269.86 EPS=0.2400 GAM=335.84 WX=0.9019E+01 WY=0.3635E+04  
ISO= 20 ITG= 1 FI=268.85 EPS=0.2200 GAM=335.84 WX=0.6515E+02 WY=0.3254E+04  
ISO= 20 ITG= 2 FI=269.24 EPS=0.2200 GAM=336.41 WX=0.4340E+02 WY=0.3259E+04  
ISO= 20 ITG= 3 FI=269.49 EPS=0.2200 GAM=336.79 WX=0.2903E+02 WY=0.3262E+04  
ISO= 20 ITG= 4 FI=269.66 EPS=0.2200 GAM=337.05 WX=0.1947E+02 WY=0.3264E+04  
ISO= 20 ITG= 5 FI=269.77 EPS=0.2200 GAM=337.22 WX=0.1308E+02 WY=0.3265E+04  
ISO= 20 ITG= 6 FI=269.85 EPS=0.2200 GAM=337.33 WX=0.8801E+01 WY=0.3266E+04  
ISO= 21 ITG= 1 FI=268.83 EPS=0.2000 GAM=337.33 WX=0.5914E+02 WY=0.2905E+04  
ISO= 21 ITG= 2 FI=269.20 EPS=0.2000 GAM=337.92 WX=0.4049E+02 WY=0.2908E+04  
ISO= 21 ITG= 3 FI=269.46 EPS=0.2000 GAM=338.31 WX=0.2766E+02 WY=0.2911E+04  
ISO= 21 ITG= 4 FI=269.63 EPS=0.2000 GAM=338.59 WX=0.1894E+02 WY=0.2913E+04  
ISO= 21 ITG= 5 FI=269.74 EPS=0.2000 GAM=338.77 WX=0.1300E+02 WY=0.2914E+04  
ISO= 21 ITG= 6 FI=269.82 EPS=0.2000 GAM=338.90 WX=0.8926E+01 WY=0.2915E+04  
ISO= 22 ITG= 1 FI=268.81 EPS=0.1800 GAM=338.90 WX=0.5360E+02 WY=0.2571E+04  
ISO= 22 ITG= 2 FI=269.17 EPS=0.1800 GAM=339.50 WX=0.3720E+02 WY=0.2575E+04  
ISO= 22 ITG= 3 FI=269.42 EPS=0.1800 GAM=339.91 WX=0.2590E+02 WY=0.2577E+04  
ISO= 22 ITG= 4 FI=269.60 EPS=0.1800 GAM=340.20 WX=0.1819E+02 WY=0.2578E+04  
ISO= 22 ITG= 5 FI=269.72 EPS=0.1800 GAM=340.40 WX=0.1283E+02 WY=0.2579E+04  
ISO= 22 ITG= 6 FI=269.80 EPS=0.1800 GAM=340.54 WX=0.9057E+01 WY=0.2580E+04  
ISO= 22 ITG= 7 FI=269.86 EPS=0.1800 GAM=340.64 WX=0.6400E+01 WY=0.2581E+04

ISO= 23 ITG= 1 FI=268.83 EPS=0.1600 GAM=340.64 WX=0.4594E+02 WY=0.2252E+04  
 ISO= 23 ITG= 2 FI=269.17 EPS=0.1600 GAM=341.23 WX=0.3277E+02 WY=0.2255E+04  
 ISO= 23 ITG= 3 FI=269.40 EPS=0.1600 GAM=341.64 WX=0.2344E+02 WY=0.2257E+04  
 ISO= 23 ITG= 4 FI=269.57 EPS=0.1600 GAM=341.94 WX=0.1680E+02 WY=0.2258E+04  
 ISO= 23 ITG= 5 FI=269.69 EPS=0.1600 GAM=342.16 WX=0.1206E+02 WY=0.2259E+04  
 ISO= 23 ITG= 6 FI=269.78 EPS=0.1600 GAM=342.31 WX=0.8669E+01 WY=0.2260E+04  
 ISO= 23 ITG= 7 FI=269.84 EPS=0.1600 GAM=342.42 WX=0.6234E+01 WY=0.2260E+04  
 ISO= 24 ITG= 1 FI=268.81 EPS=0.1400 GAM=342.42 WX=0.4048E+02 WY=0.1945E+04  
 ISO= 24 ITG= 2 FI=269.14 EPS=0.1400 GAM=343.01 WX=0.2936E+02 WY=0.1948E+04  
 ISO= 24 ITG= 3 FI=269.37 EPS=0.1400 GAM=343.45 WX=0.2134E+02 WY=0.1949E+04  
 ISO= 24 ITG= 4 FI=269.54 EPS=0.1400 GAM=343.76 WX=0.1554E+02 WY=0.1950E+04  
 ISO= 24 ITG= 5 FI=269.67 EPS=0.1400 GAM=343.99 WX=0.1134E+02 WY=0.1951E+04  
 ISO= 24 ITG= 6 FI=269.76 EPS=0.1400 GAM=344.15 WX=0.8276E+01 WY=0.1951E+04  
 ISO= 24 ITG= 7 FI=269.82 EPS=0.1400 GAM=344.28 WX=0.6262E+01 WY=0.1951E+04  
 ISO= 25 ITG= 1 FI=268.78 EPS=0.1200 GAM=344.28 WX=0.3508E+02 WY=0.1649E+04  
 ISO= 25 ITG= 2 FI=269.10 EPS=0.1200 GAM=344.89 WX=0.2581E+02 WY=0.1651E+04  
 ISO= 25 ITG= 3 FI=269.33 EPS=0.1200 GAM=345.33 WX=0.1922E+02 WY=0.1651E+04  
 ISO= 25 ITG= 4 FI=269.51 EPS=0.1200 GAM=345.67 WX=0.1419E+02 WY=0.1652E+04  
 ISO= 25 ITG= 5 FI=269.64 EPS=0.1200 GAM=345.91 WX=0.1050E+02 WY=0.1653E+04  
 ISO= 25 ITG= 6 FI=269.73 EPS=0.1200 GAM=346.09 WX=0.7769E+01 WY=0.1653E+04  
 ISO= 25 ITG= 7 FI=269.80 EPS=0.1200 GAM=346.23 WX=0.5753E+01 WY=0.1653E+04  
 ISO= 26 ITG= 1 FI=268.75 EPS=0.1000 GAM=346.23 WX=0.2963E+02 WY=0.1361E+04  
 ISO= 26 ITG= 2 FI=269.07 EPS=0.1000 GAM=346.85 WX=0.2209E+02 WY=0.1362E+04  
 ISO= 26 ITG= 3 FI=269.31 EPS=0.1000 GAM=347.32 WX=0.1649E+02 WY=0.1363E+04  
 ISO= 26 ITG= 4 FI=269.48 EPS=0.1000 GAM=347.66 WX=0.1233E+02 WY=0.1364E+04  
 ISO= 26 ITG= 5 FI=269.61 EPS=0.1000 GAM=347.92 WX=0.9230E+01 WY=0.1364E+04  
 ISO= 26 ITG= 6 FI=269.71 EPS=0.1000 GAM=348.12 WX=0.6913E+01 WY=0.1364E+04  
 ISO= 26 ITG= 7 FI=269.78 EPS=0.1000 GAM=348.26 WX=0.5181E+01 WY=0.1365E+04  
 ISO= 26 ITG= 8 FI=269.84 EPS=0.1000 GAM=348.37 WX=0.3885E+01 WY=0.1365E+04  
 ISO= 27 ITG= 1 FI=268.78 EPS=0.0800 GAM=348.37 WX=0.2297E+02 WY=0.1081E+04  
 ISO= 27 ITG= 2 FI=269.08 EPS=0.0800 GAM=348.98 WX=0.1731E+02 WY=0.1081E+04  
 ISO= 27 ITG= 3 FI=269.31 EPS=0.0800 GAM=349.44 WX=0.1307E+02 WY=0.1082E+04  
 ISO= 27 ITG= 4 FI=269.48 EPS=0.0800 GAM=349.78 WX=0.9874E+01 WY=0.1083E+04  
 ISO= 27 ITG= 5 FI=269.60 EPS=0.0800 GAM=350.05 WX=0.7466E+01 WY=0.1083E+04  
 ISO= 27 ITG= 6 FI=269.70 EPS=0.0800 GAM=350.24 WX=0.5649E+01 WY=0.1083E+04  
 ISO= 27 ITG= 7 FI=269.77 EPS=0.0800 GAM=350.39 WX=0.4276E+01 WY=0.1083E+04  
 ISO= 27 ITG= 8 FI=269.83 EPS=0.0800 GAM=350.51 WX=0.3238E+01 WY=0.1083E+04  
 ISO= 28 ITG= 1 FI=270.36 EPS=0.0900 GAM=350.51 WX=-.7699E+01 WY=0.1224E+04  
 ISO= 28 ITG= 2 FI=270.27 EPS=0.0900 GAM=350.33 WX=-.5821E+01 WY=0.1224E+04  
 ISO= 28 ITG= 3 FI=270.21 EPS=0.0900 GAM=350.19 WX=-.4399E+01 WY=0.1224E+04  
 ISO= 28 ITG= 4 FI=270.16 EPS=0.0900 GAM=350.09 WX=-.3323E+01 WY=0.1224E+04  
 ISO= 29 ITG= 1 FI=270.69 EPS=0.1000 GAM=350.09 WX=-.1639E+02 WY=0.1366E+04  
 ISO= 29 ITG= 2 FI=270.52 EPS=0.1000 GAM=349.74 WX=-.1236E+02 WY=0.1366E+04  
 ISO= 29 ITG= 3 FI=270.39 EPS=0.1000 GAM=349.48 WX=-.9305E+01 WY=0.1366E+04  
 ISO= 29 ITG= 4 FI=270.29 EPS=0.1000 GAM=349.29 WX=-.7002E+01 WY=0.1366E+04  
 ISO= 29 ITG= 5 FI=270.22 EPS=0.1000 GAM=349.14 WX=-.5266E+01 WY=0.1366E+04  
 ISO= 29 ITG= 6 FI=270.17 EPS=0.1000 GAM=349.03 WX=-.3958E+01 WY=0.1366E+04  
 ISO= 30 ITG= 1 FI=269.90 EPS=0.0950 GAM=349.03 WX=0.2233E+01 WY=0.1294E+04  
 ISO= 31 ITG= 1 FI=270.03 EPS=0.0975 GAM=349.03 WX=-.7790E+00 WY=0.1330E+04

#### MAPKA ITERACJI W PROC. IZOMES - NR PODPORY = 2

ISO= 1 ITG= 1 FI=258.25 EPS=0.6000 GAM=300.00 WX=0.3708E+04 WY=0.1783E+05  
 ISO= 1 ITG= 2 FI=263.40 EPS=0.6000 GAM=305.87 WX=0.2141E+04 WY=0.1850E+05  
 ISO= 1 ITG= 3 FI=265.91 EPS=0.6000 GAM=309.18 WX=0.1333E+04 WY=0.1863E+05  
 ISO= 1 ITG= 4 FI=267.74 EPS=0.6000 GAM=311.22 WX=0.7405E+03 WY=0.1876E+05  
 ISO= 1 ITG= 5 FI=268.86 EPS=0.6000 GAM=312.35 WX=0.3743E+03 WY=0.1886E+05  
 ISO= 1 ITG= 6 FI=269.41 EPS=0.6000 GAM=312.92 WX=0.1932E+03 WY=0.1890E+05  
 ISO= 1 ITG= 7 FI=269.69 EPS=0.6000 GAM=313.21 WX=0.1011E+03 WY=0.1892E+05

ISO= 1 ITG= 8 FI=269.84 EPS=0.6000 GAM=313.37 WX=0.5326E+02 WY=0.1893E+05  
ISO= 2 ITG= 1 FI=268.80 EPS=0.5800 GAM=313.37 WX=0.3568E+03 WY=0.1710E+05  
ISO= 2 ITG= 2 FI=269.35 EPS=0.5800 GAM=313.96 WX=0.1945E+03 WY=0.1713E+05  
ISO= 2 ITG= 3 FI=269.64 EPS=0.5800 GAM=314.29 WX=0.1069E+03 WY=0.1714E+05  
ISO= 2 ITG= 4 FI=269.80 EPS=0.5800 GAM=314.47 WX=0.5923E+02 WY=0.1715E+05  
ISO= 3 ITG= 1 FI=268.77 EPS=0.5600 GAM=314.47 WX=0.3332E+03 WY=0.1552E+05  
ISO= 3 ITG= 2 FI=269.30 EPS=0.5600 GAM=315.08 WX=0.1893E+03 WY=0.1555E+05  
ISO= 3 ITG= 3 FI=269.60 EPS=0.5600 GAM=315.43 WX=0.1089E+03 WY=0.1556E+05  
ISO= 3 ITG= 4 FI=269.77 EPS=0.5600 GAM=315.63 WX=0.6308E+02 WY=0.1557E+05  
ISO= 3 ITG= 5 FI=269.86 EPS=0.5600 GAM=315.75 WX=0.3669E+02 WY=0.1557E+05  
ISO= 4 ITG= 1 FI=268.84 EPS=0.5400 GAM=315.75 WX=0.2869E+03 WY=0.1413E+05  
ISO= 4 ITG= 2 FI=269.31 EPS=0.5400 GAM=316.33 WX=0.1703E+03 WY=0.1414E+05  
ISO= 4 ITG= 3 FI=269.59 EPS=0.5400 GAM=316.67 WX=0.1021E+03 WY=0.1415E+05  
ISO= 4 ITG= 4 FI=269.75 EPS=0.5400 GAM=316.88 WX=0.6164E+02 WY=0.1415E+05  
ISO= 4 ITG= 5 FI=269.85 EPS=0.5400 GAM=317.01 WX=0.3735E+02 WY=0.1415E+05  
ISO= 5 ITG= 1 FI=268.83 EPS=0.5200 GAM=317.01 WX=0.2637E+03 WY=0.1286E+05  
ISO= 5 ITG= 2 FI=269.28 EPS=0.5200 GAM=317.59 WX=0.1628E+03 WY=0.1287E+05  
ISO= 5 ITG= 3 FI=269.56 EPS=0.5200 GAM=317.96 WX=0.9914E+02 WY=0.1289E+05  
ISO= 5 ITG= 4 FI=269.73 EPS=0.5200 GAM=318.18 WX=0.6061E+02 WY=0.1289E+05  
ISO= 5 ITG= 5 FI=269.84 EPS=0.5200 GAM=318.31 WX=0.3536E+02 WY=0.1289E+05  
ISO= 6 ITG= 1 FI=268.84 EPS=0.5000 GAM=318.31 WX=0.2377E+03 WY=0.1174E+05  
ISO= 6 ITG= 2 FI=269.32 EPS=0.5000 GAM=318.89 WX=0.1399E+03 WY=0.1176E+05  
ISO= 6 ITG= 3 FI=269.62 EPS=0.5000 GAM=319.23 WX=0.7814E+02 WY=0.1177E+05  
ISO= 6 ITG= 4 FI=269.79 EPS=0.5000 GAM=319.42 WX=0.4383E+02 WY=0.1178E+05  
ISO= 6 ITG= 5 FI=269.88 EPS=0.5000 GAM=319.53 WX=0.2467E+02 WY=0.1178E+05  
ISO= 7 ITG= 1 FI=268.89 EPS=0.4800 GAM=319.53 WX=0.2082E+03 WY=0.1074E+05  
ISO= 7 ITG= 2 FI=269.36 EPS=0.4800 GAM=320.08 WX=0.1199E+03 WY=0.1076E+05  
ISO= 7 ITG= 3 FI=269.63 EPS=0.4800 GAM=320.40 WX=0.6965E+02 WY=0.1077E+05  
ISO= 7 ITG= 4 FI=269.80 EPS=0.4800 GAM=320.59 WX=0.3830E+02 WY=0.1078E+05  
ISO= 7 ITG= 5 FI=269.89 EPS=0.4800 GAM=320.69 WX=0.2091E+02 WY=0.1078E+05  
ISO= 8 ITG= 1 FI=268.91 EPS=0.4600 GAM=320.69 WX=0.1878E+03 WY=0.9841E+04  
ISO= 8 ITG= 2 FI=269.39 EPS=0.4600 GAM=321.24 WX=0.1053E+03 WY=0.9859E+04  
ISO= 8 ITG= 3 FI=269.66 EPS=0.4600 GAM=321.54 WX=0.5942E+02 WY=0.9870E+04  
ISO= 8 ITG= 4 FI=269.80 EPS=0.4600 GAM=321.72 WX=0.3371E+02 WY=0.9875E+04  
ISO= 9 ITG= 1 FI=268.82 EPS=0.4400 GAM=321.72 WX=0.1855E+03 WY=0.9019E+04  
ISO= 9 ITG= 2 FI=269.32 EPS=0.4400 GAM=322.30 WX=0.1075E+03 WY=0.9037E+04  
ISO= 9 ITG= 3 FI=269.60 EPS=0.4400 GAM=322.65 WX=0.6292E+02 WY=0.9046E+04  
ISO= 9 ITG= 4 FI=269.76 EPS=0.4400 GAM=322.84 WX=0.3744E+02 WY=0.9050E+04  
ISO= 9 ITG= 5 FI=269.86 EPS=0.4400 GAM=322.96 WX=0.2209E+02 WY=0.9053E+04  
ISO= 10 ITG= 1 FI=268.88 EPS=0.4200 GAM=322.96 WX=0.1619E+03 WY=0.8272E+04  
ISO= 10 ITG= 2 FI=269.32 EPS=0.4200 GAM=323.52 WX=0.9768E+02 WY=0.8285E+04  
ISO= 10 ITG= 3 FI=269.59 EPS=0.4200 GAM=323.86 WX=0.5915E+02 WY=0.8292E+04  
ISO= 10 ITG= 4 FI=269.75 EPS=0.4200 GAM=324.07 WX=0.3599E+02 WY=0.8296E+04  
ISO= 10 ITG= 5 FI=269.85 EPS=0.4200 GAM=324.19 WX=0.2197E+02 WY=0.8299E+04  
ISO= 11 ITG= 1 FI=268.86 EPS=0.4000 GAM=324.19 WX=0.1503E+03 WY=0.7582E+04  
ISO= 11 ITG= 2 FI=269.30 EPS=0.4000 GAM=324.76 WX=0.9318E+02 WY=0.7593E+04  
ISO= 11 ITG= 3 FI=269.56 EPS=0.4000 GAM=325.11 WX=0.5826E+02 WY=0.7599E+04  
ISO= 11 ITG= 4 FI=269.72 EPS=0.4000 GAM=325.33 WX=0.3673E+02 WY=0.7602E+04  
ISO= 11 ITG= 5 FI=269.83 EPS=0.4000 GAM=325.47 WX=0.2321E+02 WY=0.7604E+04  
ISO= 12 ITG= 1 FI=268.84 EPS=0.3800 GAM=325.47 WX=0.1404E+03 WY=0.6946E+04  
ISO= 12 ITG= 2 FI=269.26 EPS=0.3800 GAM=326.05 WX=0.9015E+02 WY=0.6955E+04  
ISO= 12 ITG= 3 FI=269.51 EPS=0.3800 GAM=326.42 WX=0.5913E+02 WY=0.6958E+04  
ISO= 12 ITG= 4 FI=269.68 EPS=0.3800 GAM=326.66 WX=0.3866E+02 WY=0.6960E+04  
ISO= 12 ITG= 5 FI=269.79 EPS=0.3800 GAM=326.82 WX=0.2535E+02 WY=0.6962E+04  
ISO= 12 ITG= 6 FI=269.88 EPS=0.3800 GAM=326.92 WX=0.1502E+02 WY=0.6968E+04  
ISO= 13 ITG= 1 FI=268.89 EPS=0.3600 GAM=326.92 WX=0.1227E+03 WY=0.6361E+04  
ISO= 13 ITG= 2 FI=269.30 EPS=0.3600 GAM=327.48 WX=0.7756E+02 WY=0.6369E+04  
ISO= 13 ITG= 3 FI=269.57 EPS=0.3600 GAM=327.83 WX=0.4838E+02 WY=0.6375E+04  
ISO= 13 ITG= 4 FI=269.74 EPS=0.3600 GAM=328.04 WX=0.2944E+02 WY=0.6378E+04  
ISO= 13 ITG= 5 FI=269.85 EPS=0.3600 GAM=328.18 WX=0.1721E+02 WY=0.6381E+04

ISO= 14 ITG= 1 FI=268.88 EPS=0.3400 GAM=328.18 WX=0.1140E+03 WY=0.5820E+04  
ISO= 14 ITG= 2 FI=269.33 EPS=0.3400 GAM=328.74 WX=0.6796E+02 WY=0.5831E+04  
ISO= 14 ITG= 3 FI=269.60 EPS=0.3400 GAM=329.07 WX=0.4085E+02 WY=0.5836E+04  
ISO= 14 ITG= 4 FI=269.76 EPS=0.3400 GAM=329.27 WX=0.2459E+02 WY=0.5840E+04  
ISO= 14 ITG= 5 FI=269.85 EPS=0.3400 GAM=329.39 WX=0.1484E+02 WY=0.5842E+04  
ISO= 15 ITG= 1 FI=268.88 EPS=0.3200 GAM=329.39 WX=0.1039E+03 WY=0.5321E+04  
ISO= 15 ITG= 2 FI=269.34 EPS=0.3200 GAM=329.95 WX=0.6119E+02 WY=0.5331E+04  
ISO= 15 ITG= 3 FI=269.62 EPS=0.3200 GAM=330.28 WX=0.3553E+02 WY=0.5337E+04  
ISO= 15 ITG= 4 FI=269.78 EPS=0.3200 GAM=330.47 WX=0.2062E+02 WY=0.5340E+04  
ISO= 15 ITG= 5 FI=269.87 EPS=0.3200 GAM=330.58 WX=0.1200E+02 WY=0.5342E+04  
ISO= 16 ITG= 1 FI=268.90 EPS=0.3000 GAM=330.58 WX=0.9349E+02 WY=0.4856E+04  
ISO= 16 ITG= 2 FI=269.35 EPS=0.3000 GAM=331.13 WX=0.5544E+02 WY=0.4865E+04  
ISO= 16 ITG= 3 FI=269.61 EPS=0.3000 GAM=331.46 WX=0.3328E+02 WY=0.4870E+04  
ISO= 16 ITG= 4 FI=269.77 EPS=0.3000 GAM=331.66 WX=0.1992E+02 WY=0.4873E+04  
ISO= 16 ITG= 5 FI=269.86 EPS=0.3000 GAM=331.77 WX=0.1195E+02 WY=0.4875E+04  
ISO= 17 ITG= 1 FI=268.88 EPS=0.2800 GAM=331.77 WX=0.8657E+02 WY=0.4419E+04  
ISO= 17 ITG= 2 FI=269.32 EPS=0.2800 GAM=332.33 WX=0.5284E+02 WY=0.4428E+04  
ISO= 17 ITG= 3 FI=269.58 EPS=0.2800 GAM=332.68 WX=0.3244E+02 WY=0.4432E+04  
ISO= 17 ITG= 4 FI=269.74 EPS=0.2800 GAM=332.89 WX=0.2004E+02 WY=0.4435E+04  
ISO= 17 ITG= 5 FI=269.84 EPS=0.2800 GAM=333.01 WX=0.1242E+02 WY=0.4437E+04  
ISO= 18 ITG= 1 FI=268.85 EPS=0.2600 GAM=333.01 WX=0.8039E+02 WY=0.4009E+04  
ISO= 18 ITG= 2 FI=269.27 EPS=0.2600 GAM=333.59 WX=0.5089E+02 WY=0.4016E+04  
ISO= 18 ITG= 3 FI=269.53 EPS=0.2600 GAM=333.95 WX=0.3268E+02 WY=0.4019E+04  
ISO= 18 ITG= 4 FI=269.70 EPS=0.2600 GAM=334.18 WX=0.2089E+02 WY=0.4022E+04  
ISO= 18 ITG= 5 FI=269.81 EPS=0.2600 GAM=334.33 WX=0.1339E+02 WY=0.4024E+04  
ISO= 19 ITG= 1 FI=268.81 EPS=0.2400 GAM=334.33 WX=0.7500E+02 WY=0.3620E+04  
ISO= 19 ITG= 2 FI=269.23 EPS=0.2400 GAM=334.93 WX=0.4877E+02 WY=0.3627E+04  
ISO= 19 ITG= 3 FI=269.50 EPS=0.2400 GAM=335.31 WX=0.3187E+02 WY=0.3630E+04  
ISO= 19 ITG= 4 FI=269.67 EPS=0.2400 GAM=335.56 WX=0.2089E+02 WY=0.3633E+04  
ISO= 19 ITG= 5 FI=269.78 EPS=0.2400 GAM=335.73 WX=0.1372E+02 WY=0.3634E+04  
ISO= 19 ITG= 6 FI=269.86 EPS=0.2400 GAM=335.84 WX=0.9019E+01 WY=0.3635E+04  
ISO= 20 ITG= 1 FI=268.85 EPS=0.2200 GAM=335.84 WX=0.6515E+02 WY=0.3254E+04  
ISO= 20 ITG= 2 FI=269.24 EPS=0.2200 GAM=336.41 WX=0.4340E+02 WY=0.3259E+04  
ISO= 20 ITG= 3 FI=269.49 EPS=0.2200 GAM=336.79 WX=0.2903E+02 WY=0.3262E+04  
ISO= 20 ITG= 4 FI=269.66 EPS=0.2200 GAM=337.05 WX=0.1947E+02 WY=0.3264E+04  
ISO= 20 ITG= 5 FI=269.77 EPS=0.2200 GAM=337.22 WX=0.1308E+02 WY=0.3265E+04  
ISO= 20 ITG= 6 FI=269.85 EPS=0.2200 GAM=337.33 WX=0.8801E+01 WY=0.3266E+04  
ISO= 21 ITG= 1 FI=268.83 EPS=0.2000 GAM=337.33 WX=0.5914E+02 WY=0.2905E+04  
ISO= 21 ITG= 2 FI=269.20 EPS=0.2000 GAM=337.92 WX=0.4049E+02 WY=0.2908E+04  
ISO= 21 ITG= 3 FI=269.46 EPS=0.2000 GAM=338.31 WX=0.2766E+02 WY=0.2911E+04  
ISO= 21 ITG= 4 FI=269.63 EPS=0.2000 GAM=338.59 WX=0.1894E+02 WY=0.2913E+04  
ISO= 21 ITG= 5 FI=269.74 EPS=0.2000 GAM=338.77 WX=0.1300E+02 WY=0.2914E+04  
ISO= 21 ITG= 6 FI=269.82 EPS=0.2000 GAM=338.90 WX=0.8926E+01 WY=0.2915E+04  
ISO= 22 ITG= 1 FI=268.81 EPS=0.1800 GAM=338.90 WX=0.5360E+02 WY=0.2571E+04  
ISO= 22 ITG= 2 FI=269.17 EPS=0.1800 GAM=339.50 WX=0.3720E+02 WY=0.2575E+04  
ISO= 22 ITG= 3 FI=269.42 EPS=0.1800 GAM=339.91 WX=0.2590E+02 WY=0.2577E+04  
ISO= 22 ITG= 4 FI=269.60 EPS=0.1800 GAM=340.20 WX=0.1819E+02 WY=0.2578E+04  
ISO= 22 ITG= 5 FI=269.72 EPS=0.1800 GAM=340.40 WX=0.1283E+02 WY=0.2579E+04  
ISO= 22 ITG= 6 FI=269.80 EPS=0.1800 GAM=340.54 WX=0.9057E+01 WY=0.2580E+04  
ISO= 22 ITG= 7 FI=269.86 EPS=0.1800 GAM=340.64 WX=0.6400E+01 WY=0.2581E+04  
ISO= 23 ITG= 1 FI=268.83 EPS=0.1600 GAM=340.64 WX=0.4594E+02 WY=0.2252E+04  
ISO= 23 ITG= 2 FI=269.17 EPS=0.1600 GAM=341.23 WX=0.3277E+02 WY=0.2255E+04  
ISO= 23 ITG= 3 FI=269.40 EPS=0.1600 GAM=341.64 WX=0.2344E+02 WY=0.2257E+04  
ISO= 23 ITG= 4 FI=269.57 EPS=0.1600 GAM=341.94 WX=0.1680E+02 WY=0.2258E+04  
ISO= 23 ITG= 5 FI=269.69 EPS=0.1600 GAM=342.16 WX=0.1206E+02 WY=0.2259E+04  
ISO= 23 ITG= 6 FI=269.78 EPS=0.1600 GAM=342.31 WX=0.8669E+01 WY=0.2260E+04  
ISO= 23 ITG= 7 FI=269.84 EPS=0.1600 GAM=342.42 WX=0.6234E+01 WY=0.2260E+04  
ISO= 24 ITG= 1 FI=268.81 EPS=0.1400 GAM=342.42 WX=0.4048E+02 WY=0.1945E+04  
ISO= 24 ITG= 2 FI=269.14 EPS=0.1400 GAM=343.01 WX=0.2936E+02 WY=0.1948E+04  
ISO= 24 ITG= 3 FI=269.37 EPS=0.1400 GAM=343.45 WX=0.2134E+02 WY=0.1949E+04

ISO= 24 ITG= 4 FI=269.54 EPS=0.1400 GAM=343.76 WX=0.1554E+02 WY=0.1950E+04  
 ISO= 24 ITG= 5 FI=269.67 EPS=0.1400 GAM=343.99 WX=0.1134E+02 WY=0.1951E+04  
 ISO= 24 ITG= 6 FI=269.76 EPS=0.1400 GAM=344.15 WX=0.8276E+01 WY=0.1951E+04  
 ISO= 24 ITG= 7 FI=269.82 EPS=0.1400 GAM=344.28 WX=0.6262E+01 WY=0.1951E+04  
 ISO= 25 ITG= 1 FI=268.78 EPS=0.1200 GAM=344.28 WX=0.3508E+02 WY=0.1649E+04  
 ISO= 25 ITG= 2 FI=269.10 EPS=0.1200 GAM=344.89 WX=0.2581E+02 WY=0.1651E+04  
 ISO= 25 ITG= 3 FI=269.33 EPS=0.1200 GAM=345.33 WX=0.1922E+02 WY=0.1651E+04  
 ISO= 25 ITG= 4 FI=269.51 EPS=0.1200 GAM=345.67 WX=0.1419E+02 WY=0.1652E+04  
 ISO= 25 ITG= 5 FI=269.64 EPS=0.1200 GAM=345.91 WX=0.1050E+02 WY=0.1653E+04  
 ISO= 25 ITG= 6 FI=269.73 EPS=0.1200 GAM=346.09 WX=0.7769E+01 WY=0.1653E+04  
 ISO= 25 ITG= 7 FI=269.80 EPS=0.1200 GAM=346.23 WX=0.5753E+01 WY=0.1653E+04  
 ISO= 26 ITG= 1 FI=268.75 EPS=0.1000 GAM=346.23 WX=0.2963E+02 WY=0.1361E+04  
 ISO= 26 ITG= 2 FI=269.07 EPS=0.1000 GAM=346.85 WX=0.2209E+02 WY=0.1362E+04  
 ISO= 26 ITG= 3 FI=269.31 EPS=0.1000 GAM=347.32 WX=0.1649E+02 WY=0.1363E+04  
 ISO= 26 ITG= 4 FI=269.48 EPS=0.1000 GAM=347.66 WX=0.1233E+02 WY=0.1364E+04  
 ISO= 26 ITG= 5 FI=269.61 EPS=0.1000 GAM=347.92 WX=0.9230E+01 WY=0.1364E+04  
 ISO= 26 ITG= 6 FI=269.71 EPS=0.1000 GAM=348.12 WX=0.6913E+01 WY=0.1364E+04  
 ISO= 26 ITG= 7 FI=269.78 EPS=0.1000 GAM=348.26 WX=0.5181E+01 WY=0.1365E+04  
 ISO= 26 ITG= 8 FI=269.84 EPS=0.1000 GAM=348.37 WX=0.3885E+01 WY=0.1365E+04  
 ISO= 27 ITG= 1 FI=268.78 EPS=0.0800 GAM=348.37 WX=0.2297E+02 WY=0.1081E+04  
 ISO= 27 ITG= 2 FI=269.08 EPS=0.0800 GAM=348.98 WX=0.1731E+02 WY=0.1081E+04  
 ISO= 27 ITG= 3 FI=269.31 EPS=0.0800 GAM=349.44 WX=0.1307E+02 WY=0.1082E+04  
 ISO= 27 ITG= 4 FI=269.48 EPS=0.0800 GAM=349.78 WX=0.9874E+01 WY=0.1083E+04  
 ISO= 27 ITG= 5 FI=269.60 EPS=0.0800 GAM=350.05 WX=0.7466E+01 WY=0.1083E+04  
 ISO= 27 ITG= 6 FI=269.70 EPS=0.0800 GAM=350.24 WX=0.5649E+01 WY=0.1083E+04  
 ISO= 27 ITG= 7 FI=269.77 EPS=0.0800 GAM=350.39 WX=0.4276E+01 WY=0.1083E+04  
 ISO= 27 ITG= 8 FI=269.83 EPS=0.0800 GAM=350.51 WX=0.3238E+01 WY=0.1083E+04  
 ISO= 28 ITG= 1 FI=270.36 EPS=0.0900 GAM=350.51 WX=-.7699E+01 WY=0.1224E+04  
 ISO= 28 ITG= 2 FI=270.27 EPS=0.0900 GAM=350.33 WX=-.5821E+01 WY=0.1224E+04  
 ISO= 28 ITG= 3 FI=270.21 EPS=0.0900 GAM=350.19 WX=-.4399E+01 WY=0.1224E+04  
 ISO= 28 ITG= 4 FI=270.16 EPS=0.0900 GAM=350.09 WX=-.3323E+01 WY=0.1224E+04  
 ISO= 29 ITG= 1 FI=270.69 EPS=0.1000 GAM=350.09 WX=-.1639E+02 WY=0.1366E+04  
 ISO= 29 ITG= 2 FI=270.52 EPS=0.1000 GAM=349.74 WX=-.1236E+02 WY=0.1366E+04  
 ISO= 29 ITG= 3 FI=270.39 EPS=0.1000 GAM=349.48 WX=-.9305E+01 WY=0.1366E+04  
 ISO= 29 ITG= 4 FI=270.29 EPS=0.1000 GAM=349.29 WX=-.7002E+01 WY=0.1366E+04  
 ISO= 29 ITG= 5 FI=270.22 EPS=0.1000 GAM=349.14 WX=-.5266E+01 WY=0.1366E+04  
 ISO= 29 ITG= 6 FI=270.17 EPS=0.1000 GAM=349.03 WX=-.3958E+01 WY=0.1366E+04  
 ISO= 30 ITG= 1 FI=269.90 EPS=0.0950 GAM=349.03 WX=0.2233E+01 WY=0.1294E+04  
 ISO= 31 ITG= 1 FI=270.03 EPS=0.0975 GAM=349.03 WX=-.7790E+00 WY=0.1330E+04

ITERG= 1

---

LP= 1 EPS=0.0975 GAM=349.03  
 UFX=0.000E+00 UFY=0.000E+00 UX=0.861E-05 UY=-.167E-05 QX=0.000E+00 QY=0.133E+04  
 LP= 2 EPS=0.0975 GAM=349.03  
 UFX=0.000E+00 UFY=0.000E+00 UX=0.861E-05 UY=-.167E-05 QX=0.000E+00 QY=0.133E+04

MAPKA ITERACJI W PROC. IZOMES - NR PODPORY = 1

ISO= 1 ITG= 1 FI=270.03 EPS=0.0975 GAM=349.03 WX=-.7790E+00 WY=0.1330E+04

MAPKA ITERACJI W PROC. IZOMES - NR PODPORY = 2

ISO= 1 ITG= 1 FI=270.03 EPS=0.0975 GAM=349.03 WX=-.7790E+00 WY=0.1330E+04

ITERG= 1

---

LP= 1 EPS=0.0975 GAM=349.03  
UFX=0.000E+00 UFY=0.000E+00 UX=0.861E-05 UY=-.167E-05 QX=-.728E-11 QY=0.133E+04  
LP= 2 EPS=0.0975 GAM=349.03  
UFX=0.000E+00 UFY=0.000E+00 UX=0.861E-05 UY=-.167E-05 QX=0.146E-10 QY=0.133E+04

\*\*\*\*\*  
\*\* OBLICZENIA ZAKONCZONO POPRAWNIE ---- PROG. KINWIR-I \*  
\*\*\*\*\*